



# Evaluación de los cambios dinámicos de los marcadores de lesión por isquemia-reperfusión durante la perfusión hepática normotérmica ex-vivo

**Arantxa Caballero Marcos<sup>1</sup>, Alberto Baroja Mazo<sup>2</sup>, Luis Rodríguez Bachiller<sup>3</sup>, Álvaro Morales Taboada<sup>3</sup>, Ainhoa Fernández Yunquera<sup>2</sup>, María Fernández Martínez<sup>3</sup>, Fernando Díaz Fontenla<sup>2</sup>, Arturo Colón Rodríguez<sup>3</sup>, Mario Romero Cristóbal<sup>2</sup>, Benjamin Díaz Zorita<sup>3</sup>, Sergio Cortese<sup>3</sup>, Enrique Velasco Sánchez<sup>3</sup>, Magdalena Salcedo Plaza<sup>2</sup>, José Ángel López Baena<sup>3</sup>**

1. HOSPITAL GENERAL UNIVERSITARIO GREGORIO MARAÑÓN. SERVICIO APARATO DIGESTIVO. UNIDAD DE TRASPLANTE HEPÁTICO
2. INFLAMMATION RESEARCH GROUP - LIVER TRANSPLANT TOLERANCE, MURCIA'S BIOHEALTH RESEARCH INSTITUTE-PASCUAL PARRILLA
3. HOSPITAL GENERAL UNIVERSITARIO GREGORIO MARAÑÓN. SERVICIO CIRUGÍA GENERAL Y DEL APARATO DIGESTIVO. UNIDAD DE TRASPLANTE HEPÁTICO

## 1. Introducción

# Máquinas perfusión hepática



Hipotérmica - HOPE

Sub normotérmica

Normotérmica

## 1. Introducción

# Máquinas perfusión hepática



Hipotérmica - HOPE

Sub normotérmica

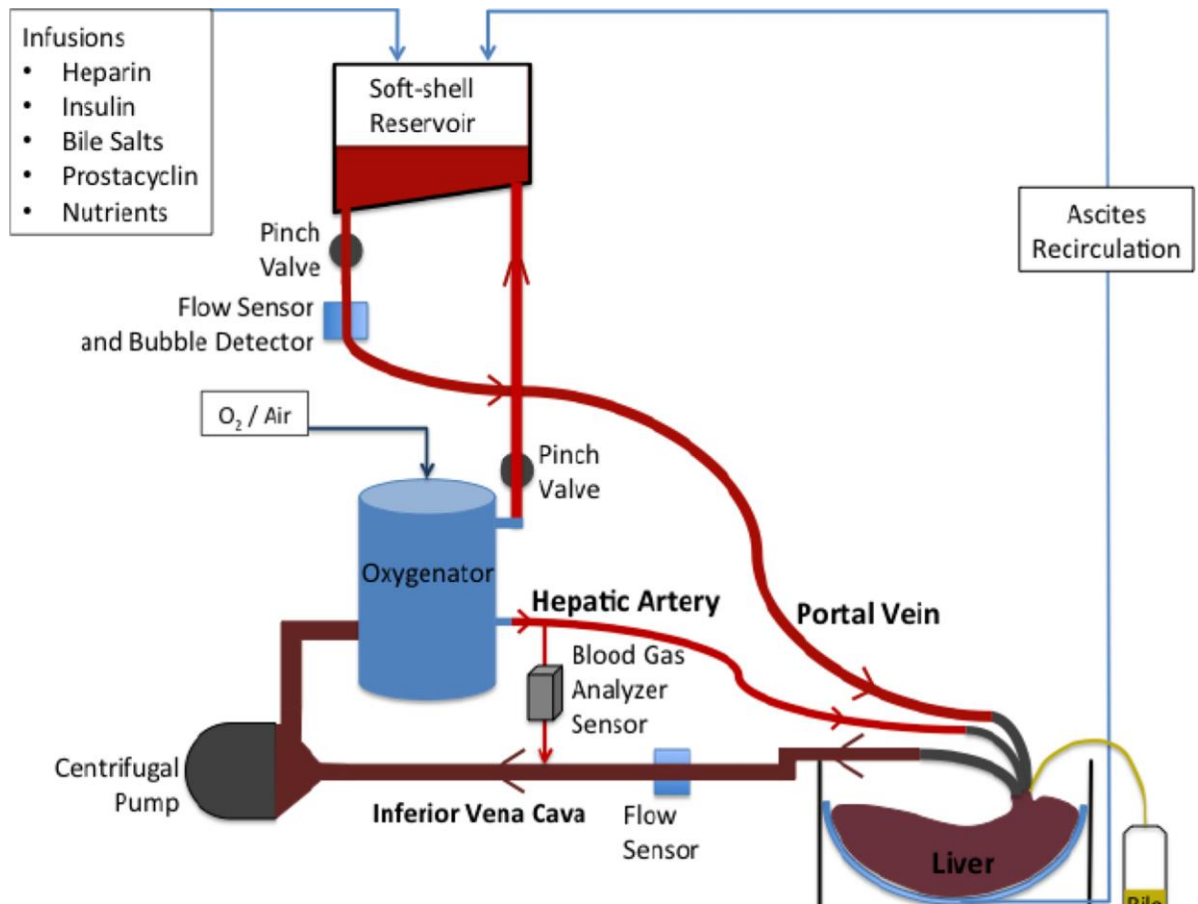
Normotérmica

# 1. Introducción

## Normotérmica

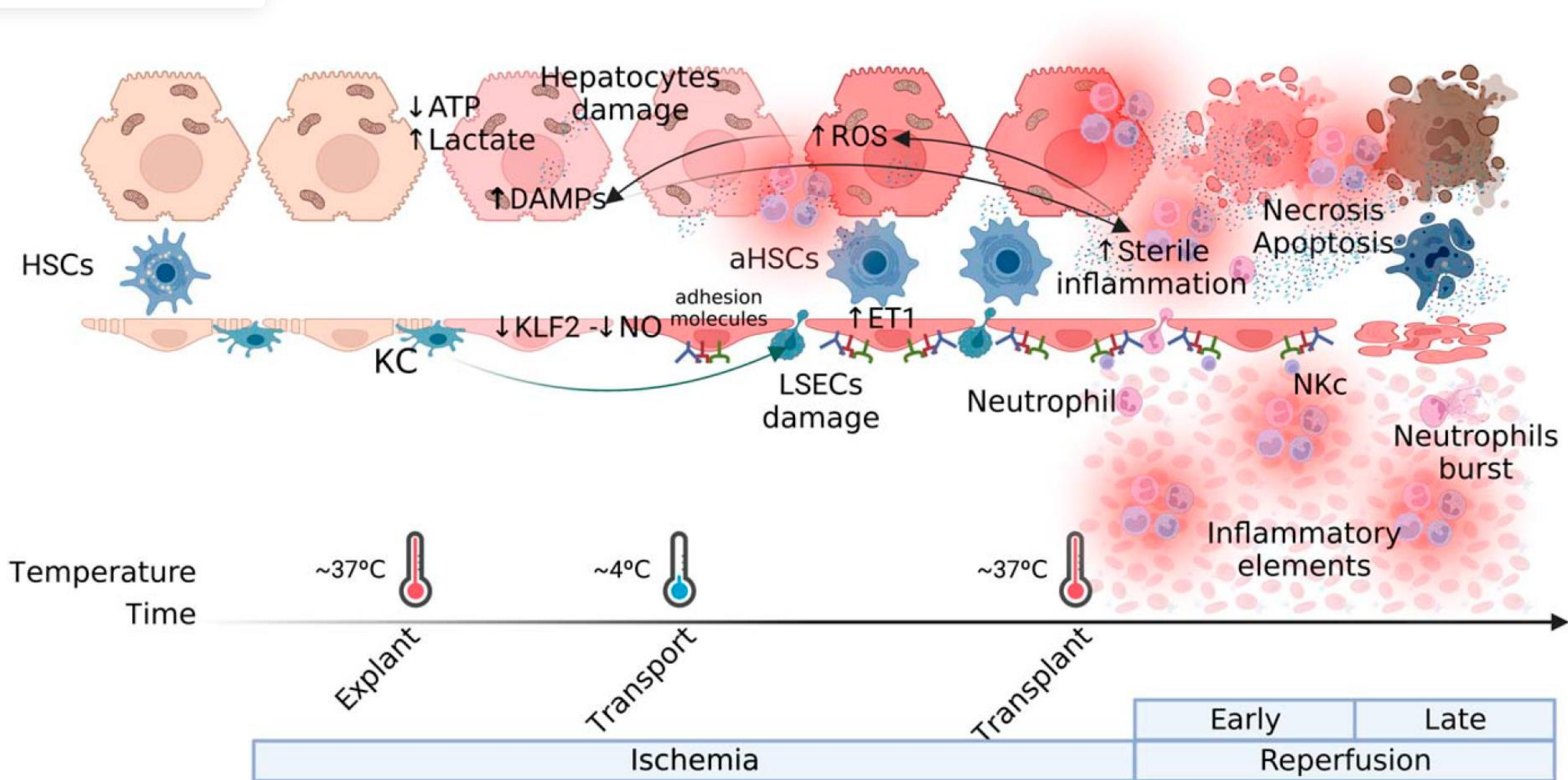
### Restablecimiento del metabolismo celular

- Temperatura fisiológica
- Suministro de oxígeno y nutrientes



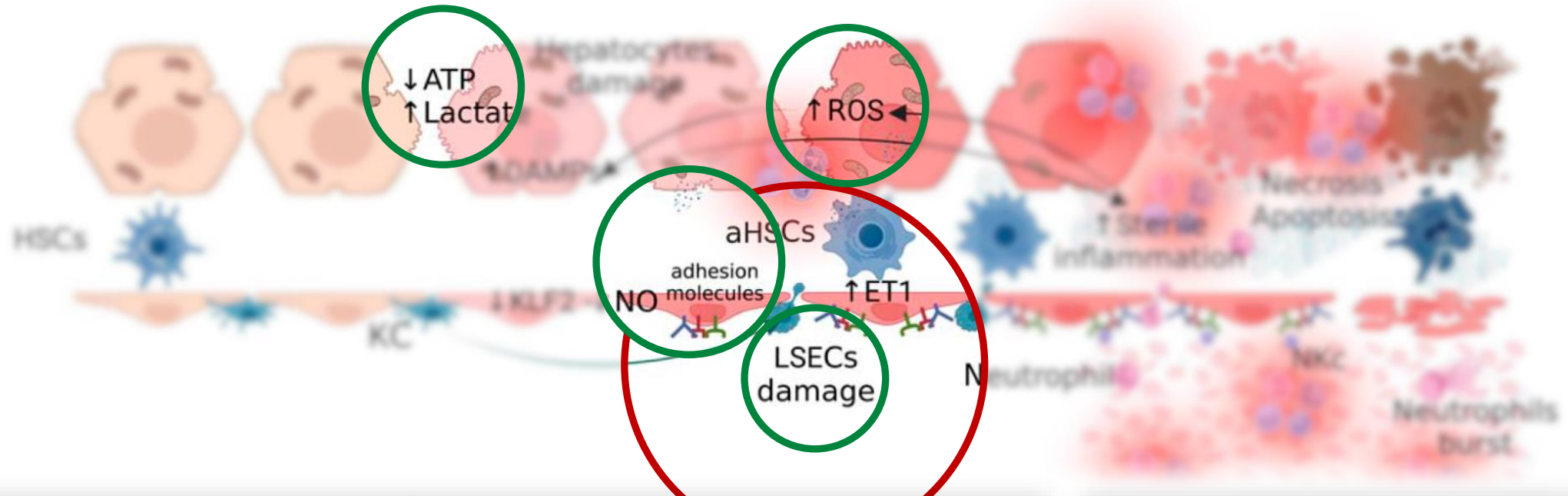
Nasralla et al. *Nature*. 2018

# 1. Introducción



Clarke et al. *Int J Mol Sci.* 2021

# 1. Introducción



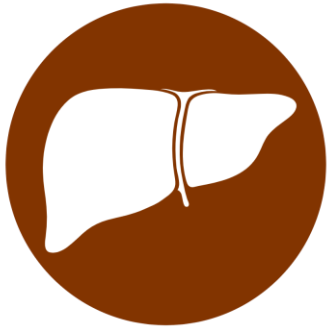
- Funcionalidad endotelial
- Microcirculación hepática
- ATP celular

Clarke et al. *Int J Mol Sci.* 2021

**Análisis de la dinámica de marcadores de lesión por isquemia-reperfusión (LIR)**  
**Asociación con marcadores estándar de viabilidad**  
**Evaluación del impacto en la LIR a nivel hepático**

## 2. Diseño

**8 órganos**



Febrero 2022 – Mayo 2023



**OrganOx metra®**



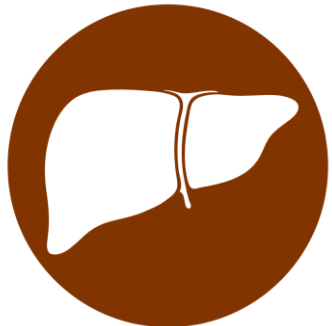
OrganOx  
living organs for life

### Evaluación viabilidad

- Aspecto macroscópico
- Flujo arterial y portal
- Eliminación de lactato
- pH
- Metabolismo de la glucosa
- Transaminasas
- Producción de bilis

## 2. Diseño

**8 órganos**

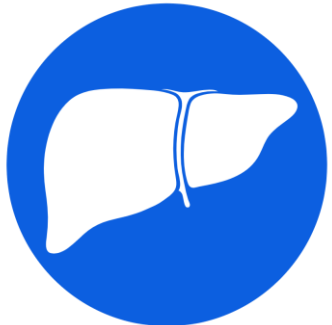


**OrganOx metra®**



**OrganOx**  
Living organs for life

**8 órganos**

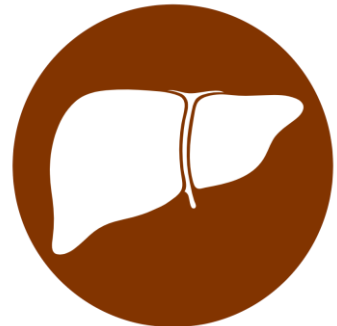


**Almacenamiento  
estático en frío**



## 2. Diseño

**8 órganos**

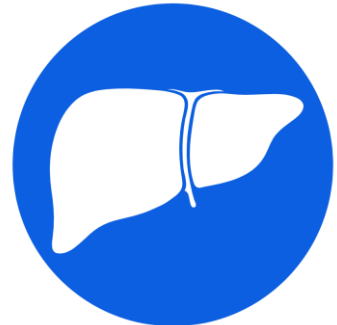


**OrganOx metra®**



**OrganOx**  
Living organs for life

**8 órganos**



**Almacenamiento  
estático en frío**



## 2. Diseño

OrganOx  
metra®

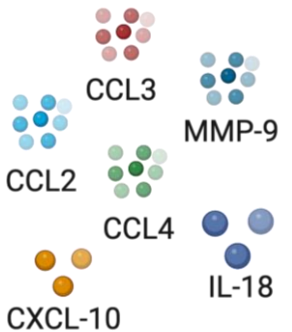


Inicio → Fin

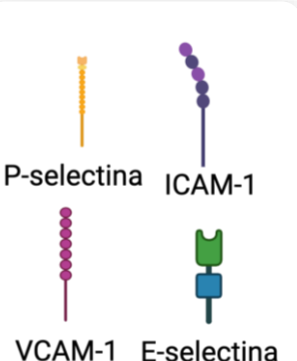


IMIB  
Instituto Murciano de  
Investigación Biosanitaria

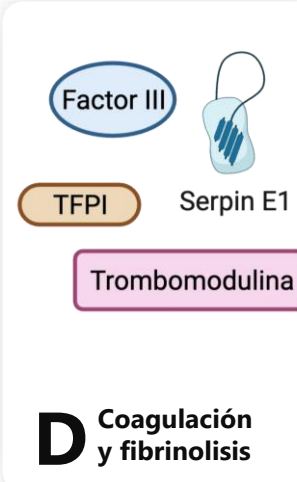
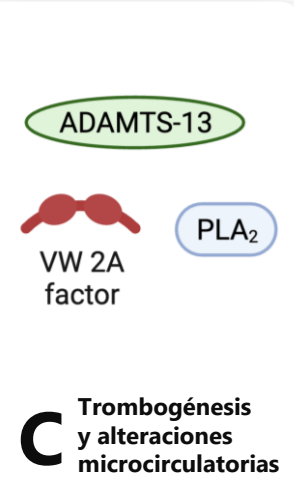
### Marcadores de lesión por isquemia-reperfusión



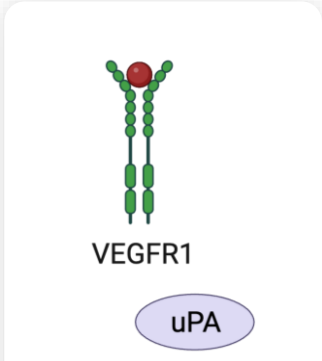
**A** Respuesta inflamatoria



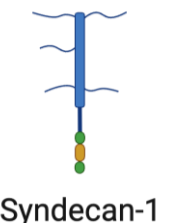
**B** Activación endotelial



**D** Coagulación y fibrinolisis



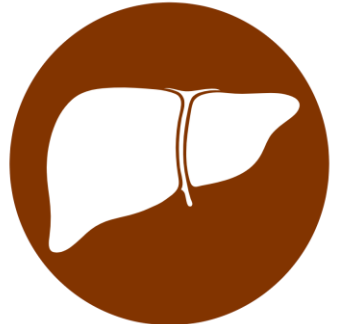
**E** Daño y reparación hepática



**F** Degradación glicocalix

### 3. Resultados

8 órganos



Febrero 2022 – Mayo 2023



OrganOx metra®



Evaluación viabilidad

- Aspecto macroscópico
- Flujo arterial y portal
- Eliminación de lactato
- pH
- Metabolismo de la glucosa
- Transaminasas
- Producción de bilis

5 órganos  
trasplantados



3 órganos  
descartados



### 3. Resultados – Características basales

Donor characteristics	Transplanted n=5	Discarded n=3	p
<b>Age (years)</b>	54.00 (44.00-58.00)	53.00 (43.00-65.00)	1.00
<b>BMI</b>	25.22 (24.49-27.76)	29.99 (26.03-33.95)	0.25
<b>Donor type (category 3 DCD)</b>	4 (80.00)	1 (33.33)	0.46
<b>Cause of death (CVA)</b>	2 (40.00)	1 (33.33)	1.00
<b>ITU stay (hours)</b>	72.00 (48.00-192.00)	72.00 (5.00-164.00)	0.55
<b>Cardiac arrest</b>	2 (40.00)	2 (66.67)	0.43
<b>Time of cardiac arrest (minutes)</b>	47.50 (45.00-50.00)	16.50 (8.00-25.00)	0.12
<b>Arterial hypertension</b>	2 (40.00)	1 (33.33)	1.00
<b>Diabetes mellitus</b>	0 (0.00)	1 (33.33)	0.38
<b>Dyslipidaemia</b>	0 (0.00)	2 (66.67)	0.11
<b>ALT (U/L)</b>	81.00 (75.00-88.00)	199.00 (34.00-364.00)	0.70
<b>GGT (U/L)</b>	56.00 (54.00-69.00)	63.00 (31.00-240.00)	0.88
<b>AP (U/L)</b>	69.00 (68.00-118.00)	90.00 (71.00-109.00)	0.70
<b>Total bilirubin (mg/dL)</b>	0.50 (0.48-0.90)	0.84 (0.28-1.40)	1.00
<b>Na (mEq/L)</b>	146.00 (142.00-150.00)	154.50 (145.00-164.00)	0.44

### 3. Resultados – Características basales

Recipient characteristics	Transplanted n=5	
Cold ischemia time (minutes)	285.00	(228.50-345.00)
Warm ischaemia time (minutes)	36.00	(30.00-42.50)
Reperfusion syndrome	0	(0.00)
Inotropic support	3	(60.00)
ICG PDR	16.60	(15.05-20.00)
ICG PDR ≥ 10	5	(100.00)
ALT peak	729.00	(468.00-1407.00)
24 hours ALT	729.00	(399.00-868.00)
24 hours INR	1.65	(1.48-1.87)
Early complication	1	(20.00)
Primary nonfunction	0	(0.00)
AKI	3	(60.00)
Acute rejection	2	(40.00)

### 3. Resultados – Evaluación estándar de viabilidad

5 órganos  
trasplantados



3 órganos  
descartados

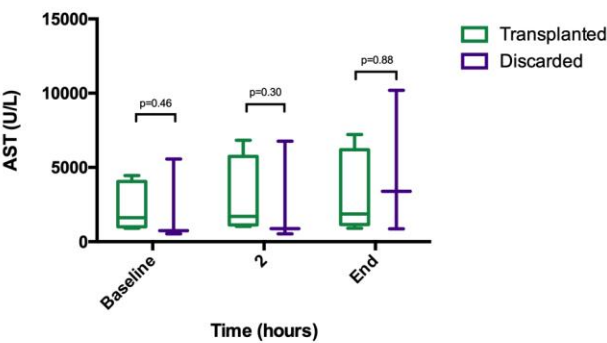
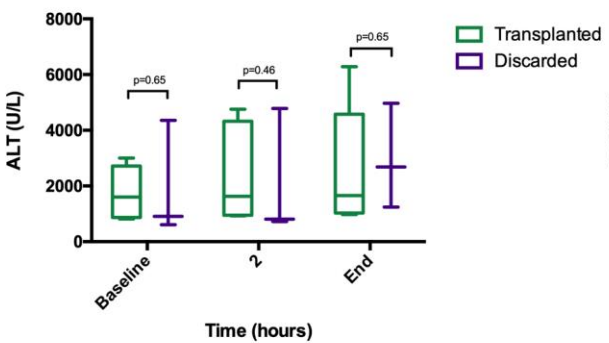
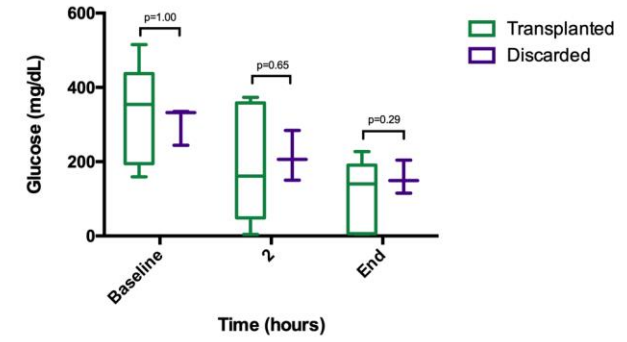
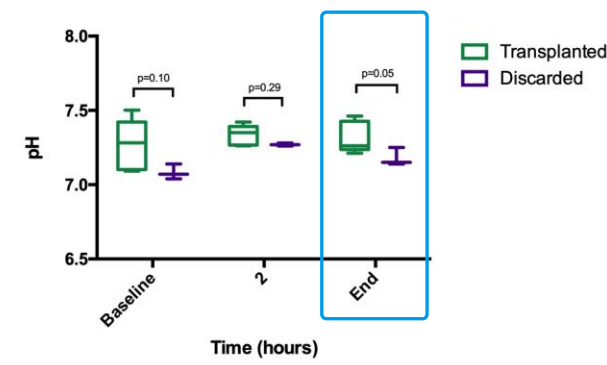
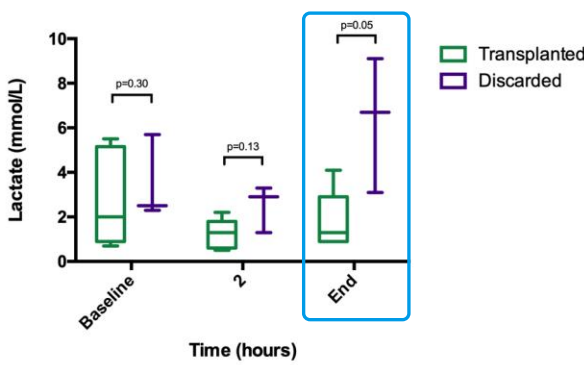


Figure 1. Changes in NMP standard parameters according to the result of the viability assessment. The box ranges from Q1 (the first quartile) to Q3 (the third quartile) of the distribution and the range represents the IQR (interquartile range). The median is indicated by a line across the box. The “whiskers” on box plots extend from Q1 and Q3 to the most extreme data points.

### 3. Resultados – Cambios en los biomarcadores de LIR durante la perfusión

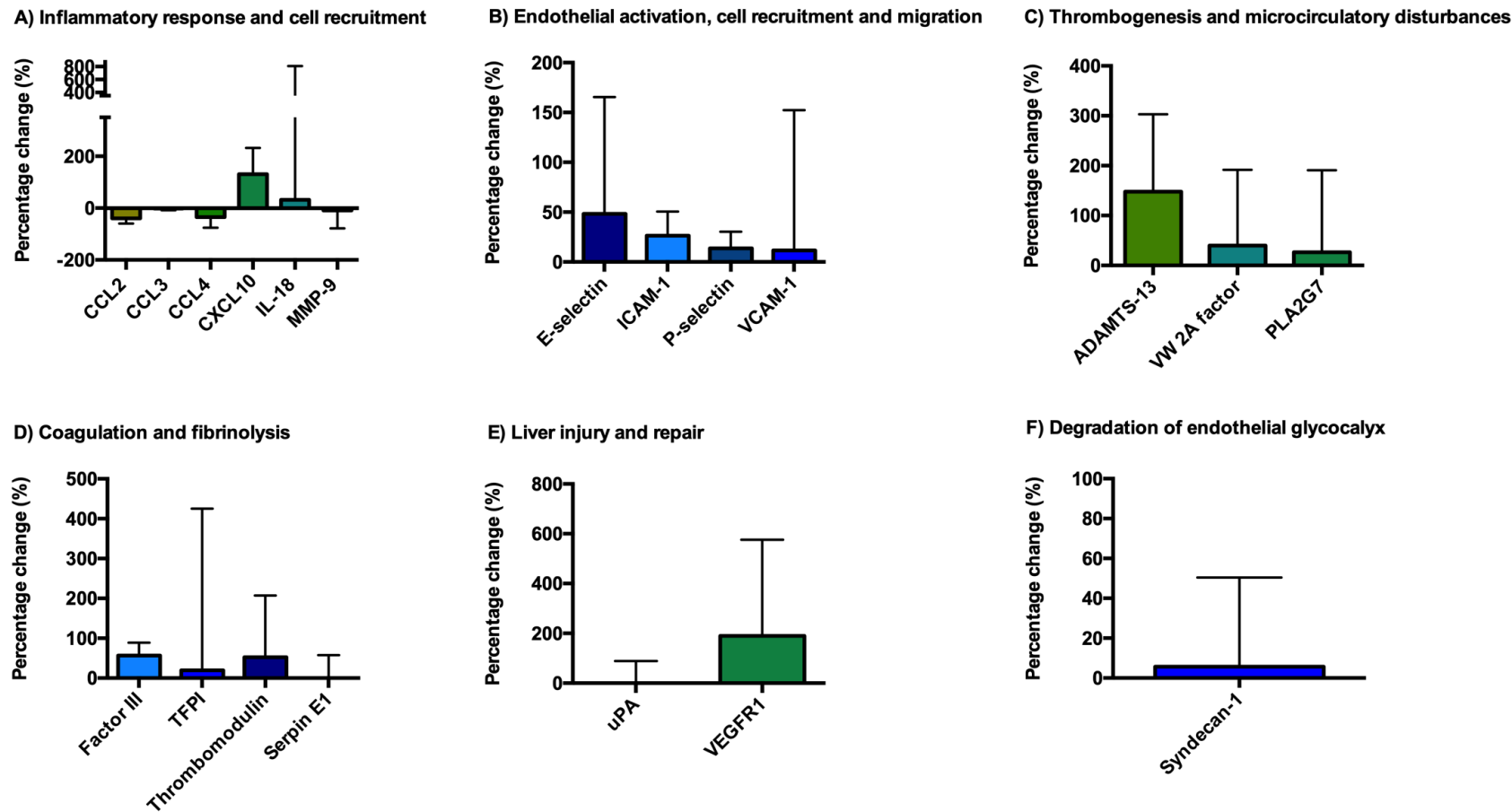


Figure 2. Percentage change from baseline of IRI biomarkers during NMP.

### 3. Resultados – Cambios en los biomarcadores de LIR durante la perfusión

#### A) Inflammatory response and cell recruitment

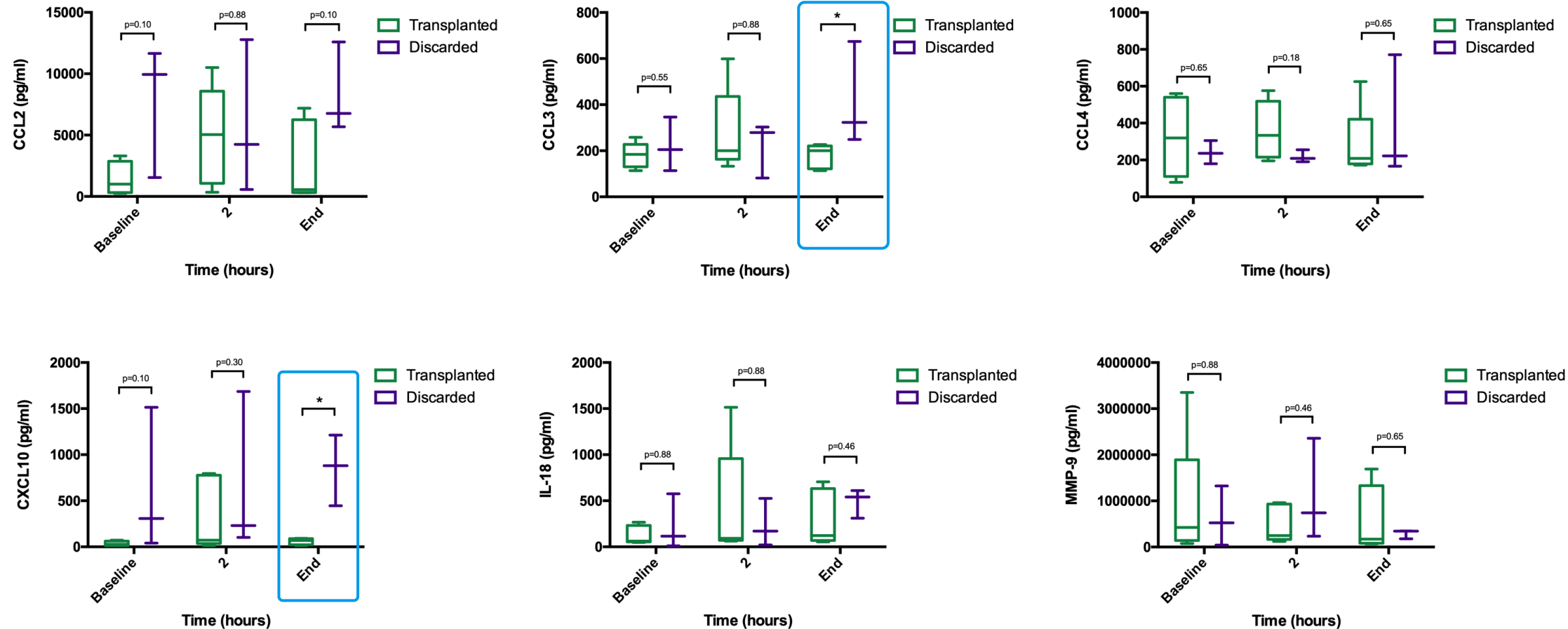


Figure 3. Changes in IRI markers in perfusate according to the result of the viability assessment.

### 3. Resultados – Cambios en los biomarcadores de LIR durante la perfusión

#### E) Liver injury and repair

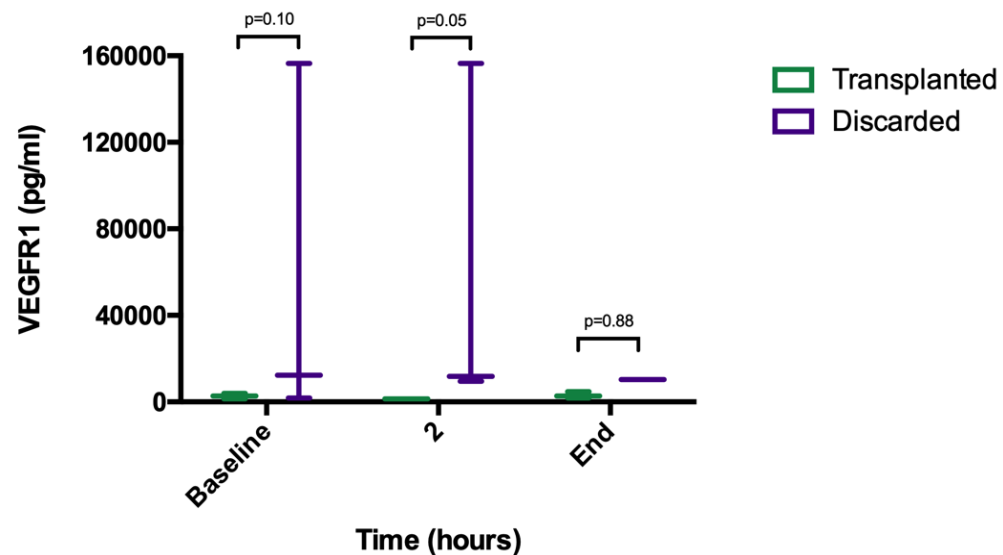
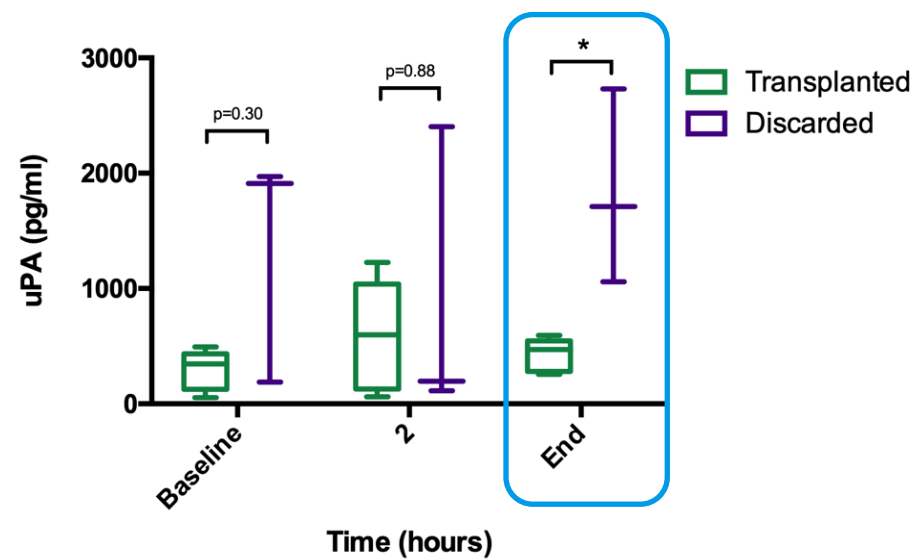


Figure 3. Changes in IRI markers in perfusate according to the result of the viability assessment.

### 3. Resultados – Correlación de marcadores de viabilidad con biomarcadores de LIR

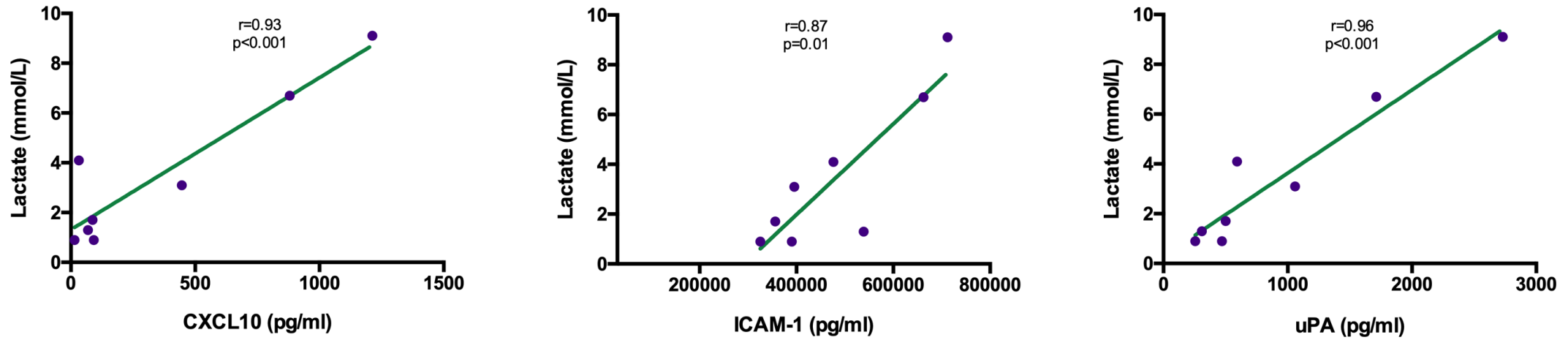


Figure 4. Correlation between perfusate lactate levels and IRI biomarkers at the end of NMP. uPA: urokinase plasminogen activator; ICAM-1: intercellular adhesion molecule 1.

### 3. Resultados – Características basales

<b>Donor characteristics</b>	<b>NMP n=8</b>		<b>SCS n=8</b>		<b>p</b>
<b>Age (years)</b>	53.50	(43.50- 61.50)	53.00	(39.50- 67.50)	0.75
<b>BMI</b>	26.03	(24.49-32.87)	25.89	(20.89-28.43)	0.42
<b>Donor type (category 3 DCD)</b>	5	(62.50)	4	(50.00)	1.00
<b>Cause of death (CVA)</b>	3	(37.50)	5	(62.50)	0.62
<b>ITU stay (hours)</b>	72.00	(37.00-178.00)	42.00	(30.00-96.00)	0.43
<b>Cardiac arrest</b>	4	(50.00)	3	(37.50)	0.62
<b>Time of cardiac arrest (minutes)</b>	35.00	(16.50-47.50)	27.50	(15.00-40.00)	0.64
<b>Arterial hypertension</b>	3	(37.50)	3	(37.50)	1.00
<b>Diabetes mellitus</b>	1	(12.50)	4	(50.00)	0.28
<b>Dyslipidaemia</b>	2	(25.00)	1	(12.50)	1.00
<b>ALT (U/L)</b>	81.00	(34.00-164.00)	57.50	(12.00-89.00)	0.16
<b>GGT (U/L)</b>	59.50	(44.00-154.50)	38.50	(22.00-153.00)	0.25
<b>AP (U/L)</b>	71.00	(68.00-118.00)	89.00	(79.50-151.00)	0.45
<b>Total bilirubin (mg/dL)</b>	0.50	(0.30-1.26)	0.42	(0.33-0.44)	0.10
<b>Na (mEq/L)</b>	146.00	(142.00-151.00)	144.00	(140.00-147.50)	0.27

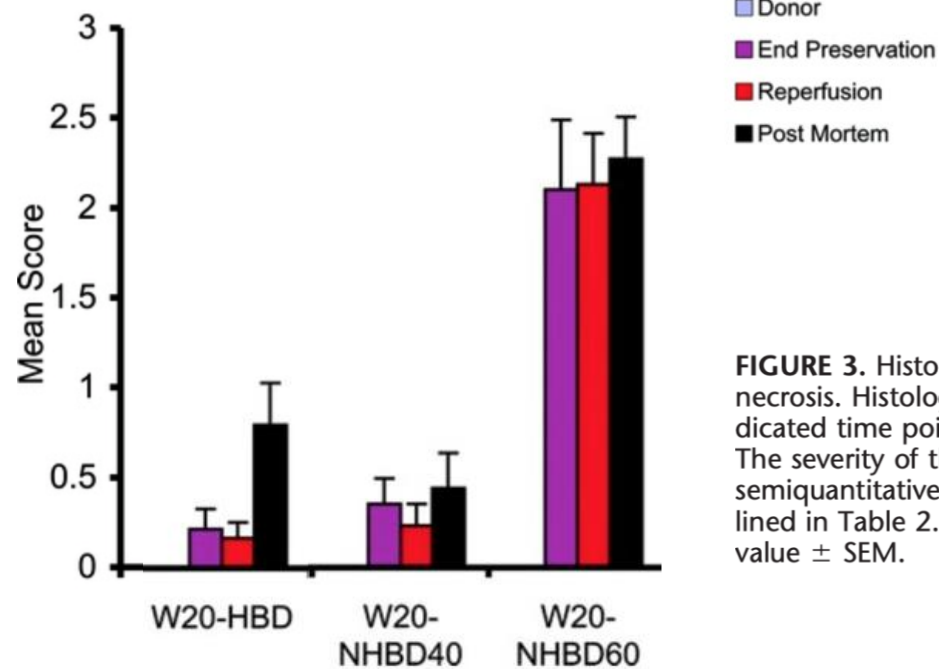
### 3. Resultados – Características basales

Recipient baseline characteristics	NMP n=5	SCS n=8	p
<b>Age (years)</b>	61.00 (59.00-67.00)	60.00 (53.00-62.00)	0.51
<b>BMI</b>	4 (80.00)	4 (50.00)	0.28
<b>Donor type (category 3 DCD)</b>	17 (12-22)	10 (8-12)	0.14
<b>Cause of death (CVA)</b>	8 (7-10)	5 (5-8)	0.24

### 3. Resultados – Características basales

Recipient transplantation and post-transplant outcomes	NMP n=5	SCS n=8	p
<b>Cold ischemia time (minutes)</b>	285.00 (228.50-345.00)	288.50 (237.50-361.50)	0.86
<b>Warm ischaemia time (minutes)</b>	36.00 (30.00-42.50)	27.50 (25.00-40.50)	0.31
<b>Reperfusion syndrome</b>	0 (0.00)	0 (0.00)	N/A
<b>Inotropic support</b>	3 (60.00)	2 (25.00)	0.21
<b>ICG PDR</b>	16.60 (15.05-20.00)	13 (9.60-43.00)	0.71
<b>ICG PDR ≥ 10</b>	5 (100.00)	6 (75.00)	0.47
<b>ALT peak</b>	729.00 (468.00-1407.00)	869.00 (524.00-1425.50)	0.88
<b>24 hours ALT</b>	729.00 (399.00-868.00)	535.00 (393.50-1293.00)	0.77
<b>24 hours INR</b>	1.65 (1.48-1.87)	1.43 (1.20-1.92)	0.56
<b>Early complication</b>	1 (20.00)	3 (37.50)	0.51
<b>Primary nonfunction</b>	0 (0.00)	1 (12.50)	0.41
<b>AKI</b>	3 (60.00)	2 (25.00)	0.21
<b>Acute rejection</b>	2 (40.00)	2 (25.00)	0.57

### 3. Resultados – Comparación de MPN y preservación estática en frío



**FIGURE 3.** Histologic scoring of hemorrhage and necrosis. Histologic findings were evaluated at indicated time points in the experimental groups. The severity of these changes was evaluated by a semiquantitative scoring system using criteria outlined in Table 2. Data expressed as the median value  $\pm$  SEM.

Brockmann. Ann Surg. 2009

### 3. Resultados – Comparación de MPN y preservación estática en frío

#### B) Endothelial activation, cell recruitment and migration

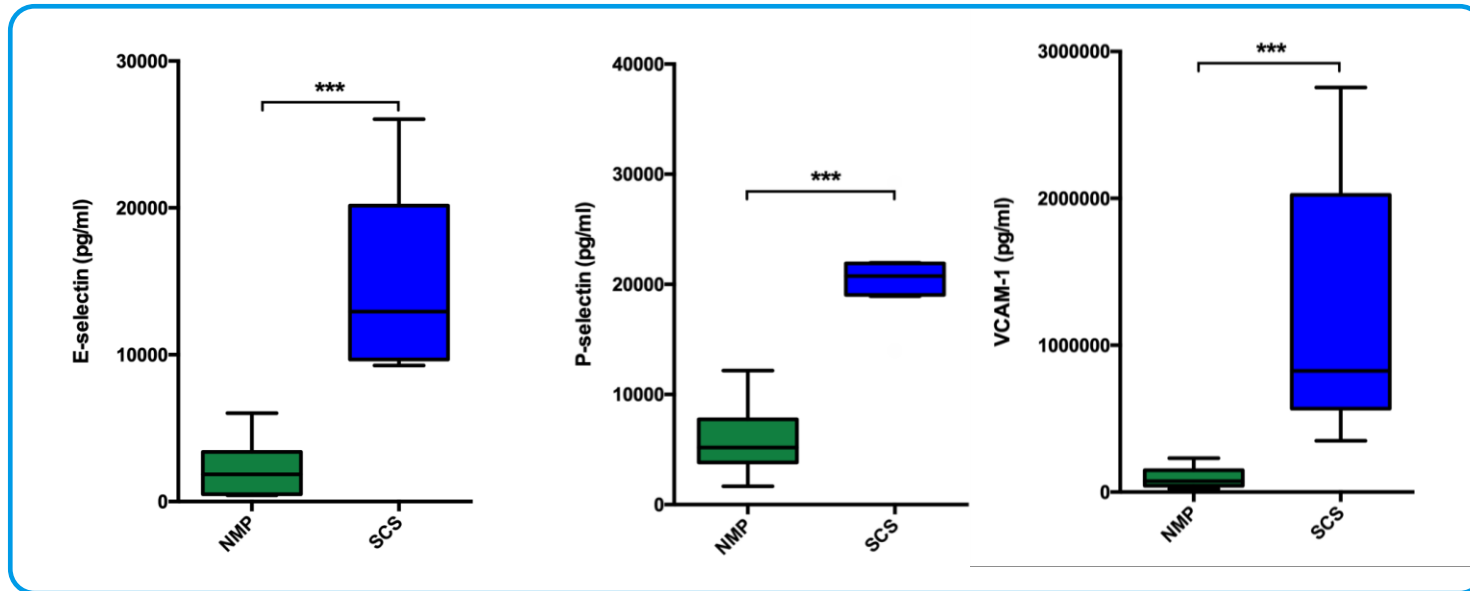
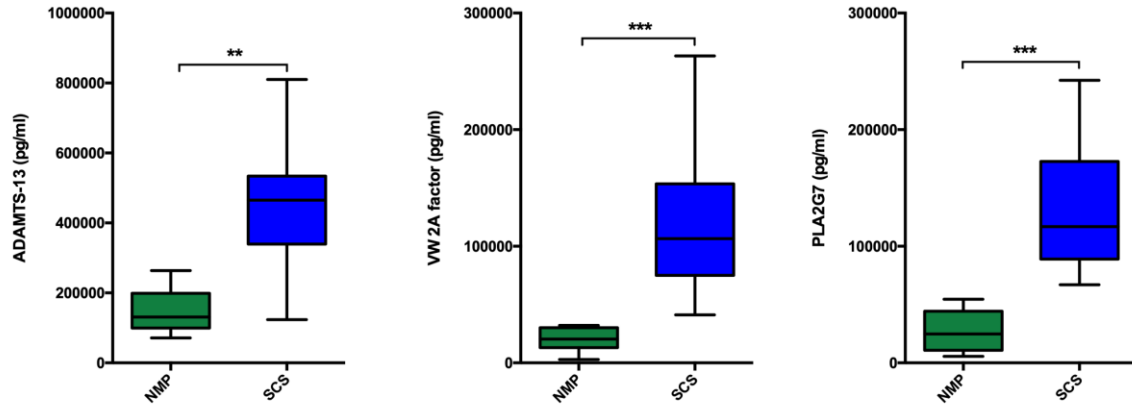


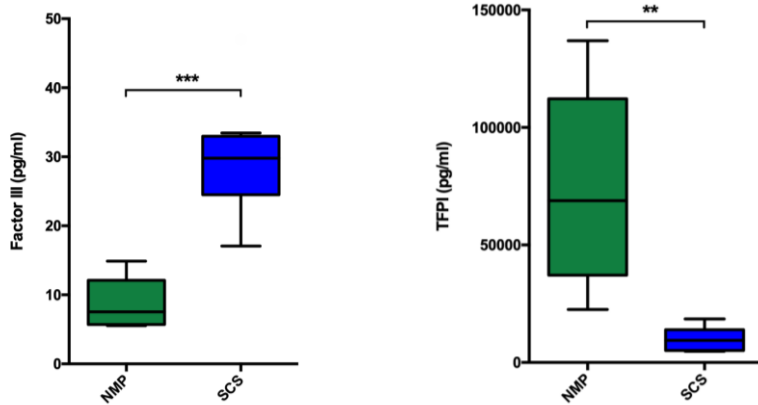
Figure 5. Comparison IRI markers in perfusate according to the type of preservation after reperfusion

### 3. Resultados – Comparación de MPN y preservación estática en frío

C) Thrombogenesis and microcirculatory disturbances



D) Coagulation and fibrinolysis



F) Degradation of endothelial glycocalyx

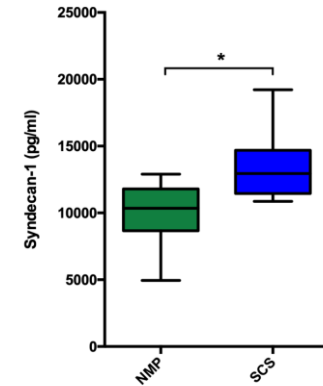
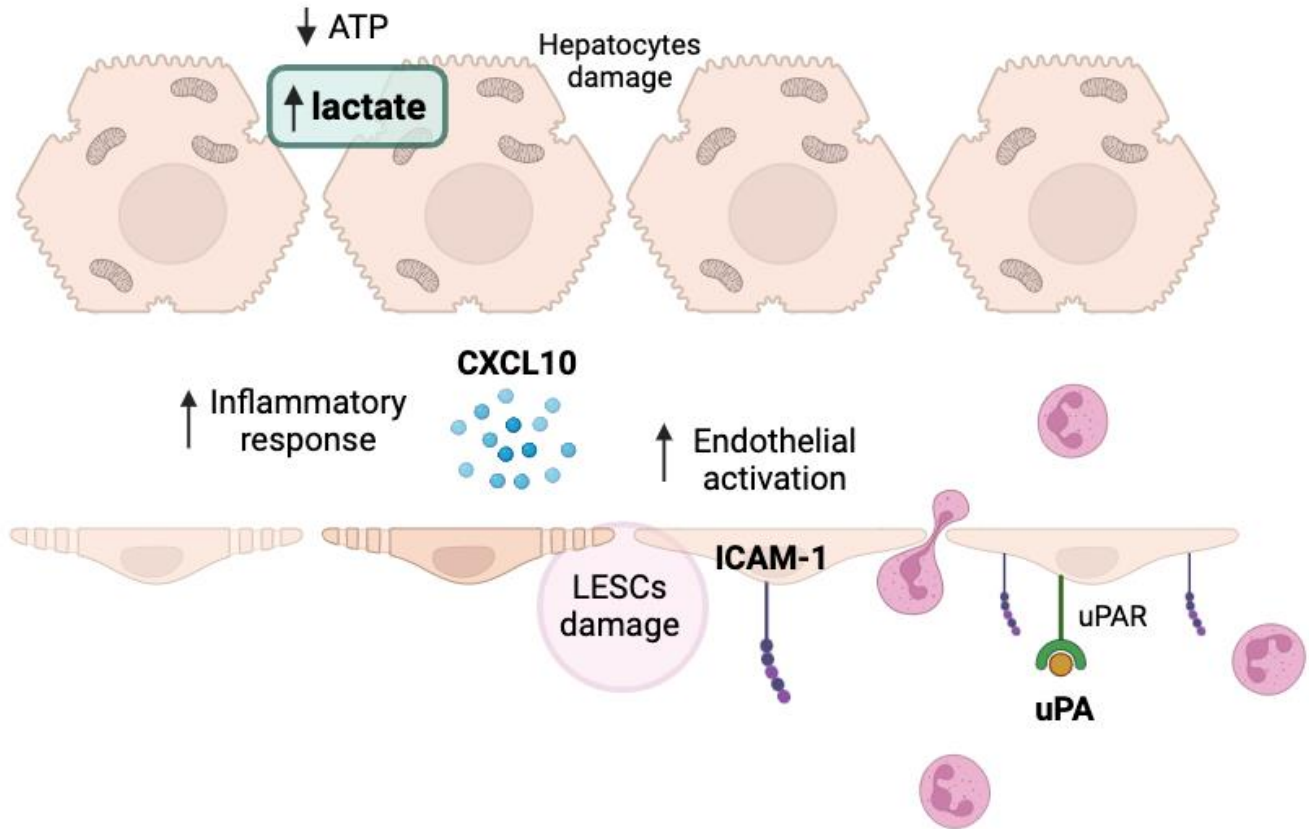


Figure 5. Comparison IRI markers in perfusate according to the type of preservation after reperfusion

## 4. Conclusiones

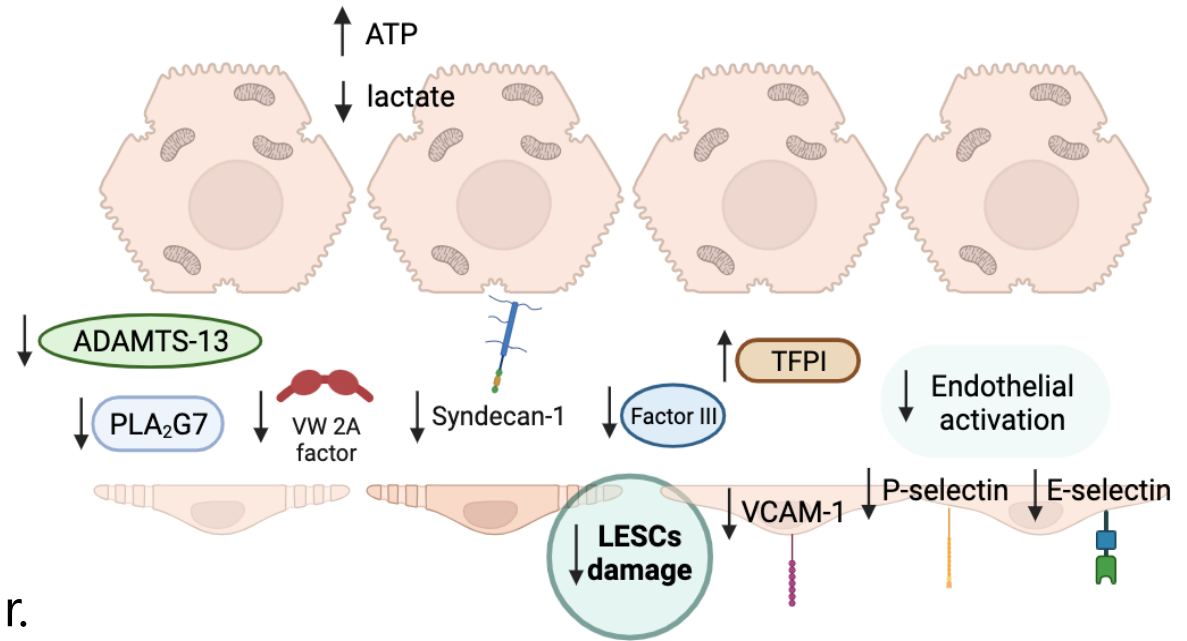
**El lactato se correlaciona con los principales mecanismos biológicos subyacentes que ocurren durante la perfusión hepática normotérmica ex-vivo.**



## 4. Conclusiones

**La perfusión hepática normotérmica ex-vivo parece tener un efecto beneficioso significativo y precoz sobre la LIR a través de:**

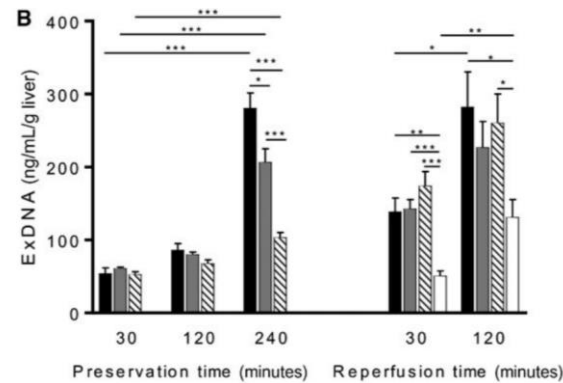
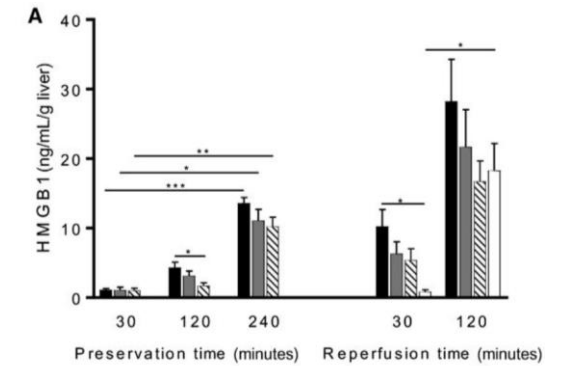
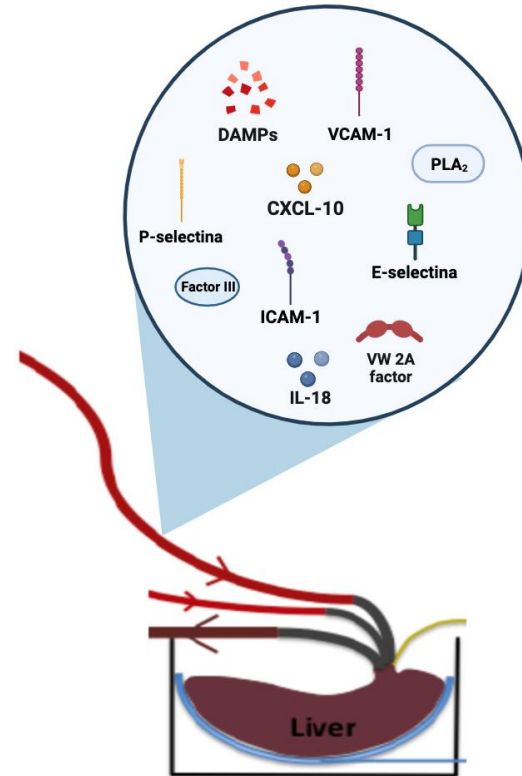
- La atenuación del daño a las células endoteliales sinusoidales.
- Reducción de las alteraciones microcirculatorias y la trombogénesis.
- Estado menos pro-coagulante.
- Menor degradación del glicocálix celular.



## 4. Conclusiones

Parece existir una tendencia al acúmulo de biomarcadores de LIR durante la perfusión hepática normotérmica ex-vivo.

Nuestros datos respaldan la necesidad de intervenciones para atenuar el efecto perjudicial de la acumulación de estos mediadores.



Scheuermann. *Liver Transpl.* 2019

## 4. Conclusiones

**Futuros estudios son necesarios para validar nuestros resultados en un mayor tamaño muestral e identificar marcadores sólidos de viabilidad.**



# Muchas gracias



X @SETHepatico

## Evaluación de los cambios dinámicos de los marcadores de lesión por isquemia-reperfusión durante la perfusión hepática normotérmica ex-vivo

1. Hospital General Universitario Gregorio Marañón. Servicio Aparato Digestivo. Unidad de Trasplante Hepático
2. Inflammation Research Group - Liver Transplant Tolerance, Murcia's Biohealth Research Institute-Pascual Parrilla
3. Hospital General Universitario Gregorio Marañón. Servicio Cirugía General y del Aparato Digestivo. Unidad de Trasplante Hepático

**Arantxa Caballero**

**Marcos<sup>1</sup>**, Alberto Baroja Mazo<sup>2</sup>, Luis Rodríguez Bachiller<sup>3</sup>, Álvaro Morales Taboada<sup>3</sup>, Ainhoa Fernández Yunquera<sup>2</sup>, María Fernández Martínez<sup>3</sup>, Fernando Díaz

Fontenla<sup>2</sup>, Arturo Colón Rodríguez<sup>3</sup>, Mario Romero Cristóbal<sup>2</sup>, Benjamin Díaz Zorita<sup>3</sup>, Sergio Cortese<sup>3</sup>, Enrique Velasco Sánchez<sup>3</sup>, Magdalena Salcedo Plaza<sup>2</sup>, José Ángel López Baena<sup>3</sup>

